

苏联汽车运输科学研究院

# 汽車零件修理中的 電脈沖堆焊

Н. И. 陀倩科 著  
何光里 譯



人民交通出版社

苏联汽车运输科学研究院

# 汽車零件修理中的 電脈沖堆焊

H. I. 陀倩科 著  
何光里 譯

人民交通出版社

本書介紹汽車零件修焊工作中的一种新方法。电脉冲接触电弧堆焊的特点是修复后不需热处理，提高了劳动生产率，降低了电能和材料的消耗，因此这种修复工艺在国外已日益广泛地被采用。

本書內容包括金属接触电弧堆焊过程的研究、堆焊设备和零件修复的工艺过程、磨损零件的修复及其工作能力的检查、技术经济指标以及附錄修复曲轴轴颈的工序和工步次序。

本書供汽車修理厂的技术人員和技工閱讀参考。

苏联汽车运输科学研究院  
汽車零件修理中的电脉冲堆焊

РОССИЙСТВЕННЫЙ НАУЧНО-ИССЛЕДОВАТЕЛЬСКИЙ ИНСТИТУТ  
АВТОМОБИЛЬНОГО ТРАНСПОРТА  
НИИАТ

Н. И. ДОЦЕНКО

ЭЛЕКТРОИМПУЛЬСНАЯ  
НАПЛАВКА МЕТАЛЛА  
ПРИ РЕМОНТЕ  
АВТОМОБИЛЬНЫХ ДЕТАЛЕЙ

НАУЧНО-ТЕХНИЧЕСКОЕ ИЗДАТЕЛЬСТВО  
АВТОТРАНСПОРТНОЙ ЛИТЕРАТУРЫ  
Москва 1968

本書根据苏联汽车运输出版社1958年莫斯科俄文版本譯出

何光里 譯

人民交通出版社出版  
(北京安定門外和平里)

北京市書刊出版业营业許可証出字第〇〇六号  
新华书店北京发行所发行 全国新华书店經售  
人民交通出版社印刷厂印刷

1962年7月北京第一版 1962年7月北京第一次印刷  
开本: 787×1092<sup>1/2</sup> 印張: 2<sup>1/2</sup>張  
全書: 43800字 印數: 1—2,850冊  
统一書号: 15014·4386  
定价(10): 0.30元

# 目 录

序.....	2
<b>第一章 金属接触电弧堆焊过程的研究.....</b>	<b>4</b>
1. 金属电脉冲堆焊的变态.....	4
2. 金属接触电弧堆焊的电脉冲装置.....	7
3. 各个因素对堆焊过程的影响.....	7
4. 堆焊层的结构与硬度.....	22
5. 堆焊金属与基部金属的連結强度.....	27
6. 弯曲变形.....	28
7. 内应力.....	29
8. 疲劳强度.....	33
9. 堆焊层的耐磨性.....	37
結論.....	39
<b>第二章 堆焊设备和零件修复的工艺过程.....</b>	<b>40</b>
1. 零件电脉冲堆焊工作地的设备.....	40
2. 零件堆焊工艺过程.....	45
3. 选取电极絲和堆焊規范的实例.....	49
<b>第三章 磨損零件的修复及其工作能力的检查.....</b>	<b>50</b>
1. 汽車零件磨損部位的修复.....	50
2. 磨損的曲軸軸頸的修复.....	55
<b>第四章 技术經濟指标.....</b>	<b>61</b>
1. 堆焊过程的生产率.....	61
2. 运用費用.....	61
<b>附录：电脉冲堆焊修复格斯-51曲軸軸頸的     工序和工步次序.....</b>	<b>63</b>
<b>    参考文献.....</b>	<b>66</b>

## 序

汽車运输貨物周轉量的增加和运输成本的降低在很大程度上取决于汽車技术保养和修理的改进。在这方面一个很重要的任务是要在汽車修理生产中运用新技术和修复磨損零件的新工艺。

現在大約40%的零件是用电弧堆焊和气焊修复，但是在修理企业中堆焊工作不是机械化而主要是用手工来完成的；同时堆焊金属层厚度一般都大于1.5~2.0毫米，而实际上許多零件的磨損量不超过0.2~0.3毫米，因此80%的堆焊金属都成为机械加工时的切屑。

此外，采用气焊和电弧堆焊时，零件受热較深，而使金属的質量改变和零件变形，因此堆焊后，零件应进行热处理，有时还要校正；所有这些都使电能和材料消耗增大，使工艺过程复杂，增加零件的修理成本。

1943年苏联 B.P. 拉札連柯提出了借振动 积复金属来加工的方法。在这些加工中都是利用电脉冲放电。近年来在这个方法的基础上研究出許多电脉冲堆焊方法，这些堆焊方法沒有上述气焊和电焊的缺点，金属的电脉冲接触电弧堆焊是这些方法中的一种。

电脉冲接触电弧堆焊是用低压发电机（具有硬特性）的直流电或硒整流器的整流电进行的，很多汽車修理厂用接触电弧堆焊修复各种汽車零件。堆焊后不需热处理。同时，与手工堆焊比較，大大地提高了劳动生产率，降低了电能和材料的消

耗。

現在修理机器的各种零件时，日益广泛地采用电脉冲接触电弧堆焊方法。

汽車运输科学研究院在工程师 Н.И.陀倩科領導下进行了金属电脉冲堆焊的研究，机械师 Н.В.阿罗諾夫、Н.И.庫浮尔金、В.И.奥尔洛夫斯基、А.П.彼得罗维奇和設計工程师 В.В.彼得洛夫参加了这项研究工作。研究結果闡述在本書中。

技术科学博士 В.В.叶弗列莫夫教授担任了研究工作的顧問并校閱了本書。

# 第一章 金属接触电弧堆焊过程的研究

## 1. 金属电脉冲堆焊的变态

近来已經知道若干金属电脉冲堆焊的变态，它們包括：按B.P.拉札連柯的方法在低电压下的金属电火花镀复；M.M.列依捷罗夫（切利亚宾斯克拖拉机厂）提出的，在水中进行的金属电接触堆焊，Г.В.古肖夫（莫斯科农业机械化与电气化学学院）研究的，用索尔麦特硬質合金电脉冲堆焊；Г.П.克列克夫金（切利亚宾斯克农业机械化与电气化学学院）提出的，用混流在电解液流中进行的振动接触堆焊；用焊接发电机的振动电弧堆焊（切利亚宾斯克工艺学院）；接触电火花和接触电弧（汽車运输科学研究院）等。

所有这些金属堆焊的变态都是按照一个共同的原理来实现的，即借助于振动的电极。它們的差別主要是在于：装置的能量、电路图、电极材料、它們的形式和尺寸、周围介质和其他因素。

电脉冲堆焊可以用交流、直流和混流进行。电流可以由不同的电源供应，如用焊接变压器、低压直流发电机、硒整流器、焊接发电机，或同时用低压直流发电机和焊接变压器。电脉冲堆焊主要采用容电器式电路（在电路中与电极并联容电器）或感应式电路（在电路中电感与电极串联）。

电脉冲堆焊可以在不同的电压（4~250伏）和不同的电流（1~500安）下进行，堆焊生产率主要是取决于电压和电流值。

作为电脉冲堆焊的材料可以采用不同化学成分的鋼絲或硬

質合金条、鑄鐵等。电脉冲堆焊可以在空气中、中性气体介質中或在液体中进行。

电脉冲放电和金属接触焊接的現象是电脉冲堆焊过程的基础，脉冲放电能量是在断路时期积儲在容电器（用容电器式电路时），或在短路时期积儲在自感線圈中（用感应式电路堆焊时）的磁場能量。

堆焊過程的稳定性、堆焊层的厚度和質量在很大程度上取决于电极間放电的特性和形式。

按照放电特性和形式，电脉冲堆焊基本上可以分为下列三类过程：接触电火花过程；接触电弧过程；振动电弧过程。

在接触电火花过程中，堆焊是在电压为4~200伏（甚至还高）、电流为1~500安的情况下进行。堆焊采用各种能量的容电器式或无容电器的低电感式电路。

在接触电火花过程中基本上是接触焊接，在过程中焊絲各元素只有很少的被烧掉，它可以用来堆焊硬的和耐磨的金属层。

这个方法的主要缺点是：生产率低，堆焊层厚度較小（0.1~0.6毫米），堆焊层的多孔性和很大的不均匀性。

在接触电弧过程，堆焊是在6~30伏的电压下进行，堆焊采用裝有调节电感的电磁式电路。接触电弧过程可以在空气中、中性气体介質中或液体中进行。应用不同化学成分的焊絲可以得到不同程度的堆焊层；获得沒有气孔和縮孔、而具有高耐磨性和强度的堆焊层。用接触电弧堆焊可以获得0.3~2.5毫米厚的堆焊层，堆焊生产率也比手工堆焊高好几倍。

振动电弧堆焊是用普通电弧焊接发电机进行，因此它与电弧过程的差別不大。应用振动的电焊 絲可以提高 堆焊 的稳定性。进行堆焊时不用熔剂，或堆焊时采用冷却液，将冷却液供給到堆焊区。

振动电弧堆焊使焊丝元素烧掉达50%。堆焊金属的厚度可达1.5毫米，甚至还大。因此这个方法主要用来堆焊磨损严重的大型机器零件。振动电弧堆焊的生产率大约等于接触电弧堆焊的生产率。

在上述的电脉冲堆焊的变态中，接触电弧是更通用的方法，用它可以修复磨损达2.5毫米的大多数零件，绝大多数企业在修复汽车拖拉机零件时都采用这个方法。下面阐述应用这个方法修复汽车零件的研究结果。

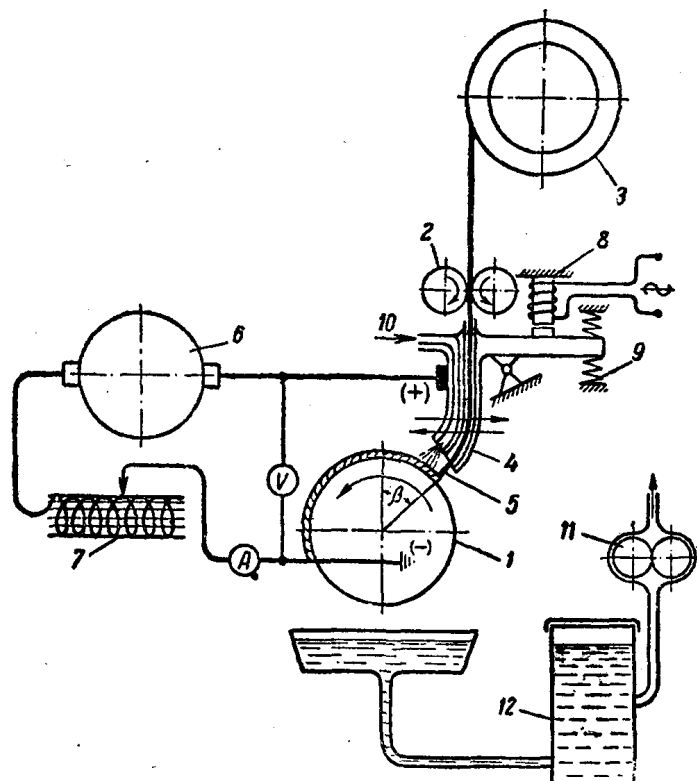


图1 金属接触电弧堆焊的电脉冲装置简图

1-被堆焊零件；2-供给机构的滚轮；3-焊丝卷盘；4-振动焊咀；5-电极焊咀；6-发电机；7-自感线圈；8-振动器；9-弹簧；10-液体供给管；11-齿轮泵；12-滤清沉淀器； $\beta$ -焊丝接近零件的角度

## 2. 金属接触电弧堆焊的电脉冲装置

图1是接触电弧堆焊零件的电脉冲装置简图。堆焊是在车床上进行，堆焊机头固定在车床刀架上，零件安装在车床顶尖间。堆焊过程如下：焊丝5从卷盘3经过振动焊咀4用滚轮2向旋转零件表面1供送，焊丝在工作时振动，并与零件表面接触，焊丝在电源6供应的脉冲放电的作用下熔化，这时熔化的电极金属以颗粒的形态积复在零件表面。用泵11经过振动焊咀4中的管10向零件表面和堆焊区供送液体，以冷却零件。

堆焊过程和堆焊质量取决于一系列的电参数和运动参数，如取决于电流种类和极性、电感和电容、堆焊速度、焊丝供给速度、焊丝振幅等。

## 3. 各个因素对堆焊过程的影响

**电流种类和极性：**为了阐明电流种类、极性和其他因素对堆焊过程和堆焊质量的影响，在电极与堆焊表面每一短路时，电极金属以单个颗粒的形态积复在被堆焊表面。图2所示为相应的试件，在试件上用表1的规范积复了单个金属粒。

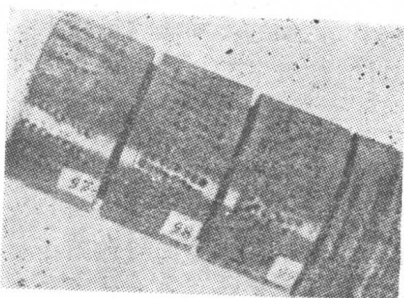


图2 用混流(97试件)、直流(98试件)和交流(99试件)積复的金属粒

表 1

电流种类和极性	电 压 (伏)	电 流 (安)	额定电阻 (欧姆)	焊丝供 给 速度(米/分)	冷却液供 给 量(升/分)	焊丝振幅 (毫米)
混流(交流+直 流);反極……	7.5+10	160+100	0.02	0.4	0.5	1.2
直流; 反極……	12	160	—	0.4	0.5	1.2
交流……………	16	280	0.02	0.4	0.5	1.2

为了得到淬火的金属，颗粒的积复是用 OBC 牌号焊丝 (ГОСТ В 1546-53) (含碳量 0.8%) 在 45 号钢制的高频率淬火试件上进行，试件的硬度为洛氏 54~58。当电极振动频率每秒 100 周、圆周速度 24 米/分和堆焊机头纵向进给为 4 毫米/转时，在每一短路中能积复单个金属粒。当按 Г. П. 克列柯夫金方案 (参见文献 1) 用混流堆焊时，在电路内除发电机外还串联了一焊接变压器，当电压比值  $U_{\text{直流}} = \sqrt{2} U_{\text{交流}}$  时，交流阴极半周是这样凑合的，使在电路中作用的脉冲不是 100，而是 50 同名脉冲 (图 3a)。因此当电极振动 100 次时，经过每一短路时期以点的形态在试件表面上积复大约 50 粒大颗粒电极金属 (图 2 中 97 试件)。在另外的交流和直流比值时，可以得到：或者是同名脉冲电流，它具有依次更换的不同值的每秒 100 脉冲 ( $U_{\text{直流}} > U_{\text{交流}} \sqrt{2}$  时) (图 3b)，或者不同值的脉冲交流 ( $U_{\text{直流}} < U_{\text{交流}} \sqrt{2}$  时) (图 3c)。

这样，所有的混流方案中在每一短路时，脉冲值都不相同，因此堆焊过程不稳定，而且堆焊金属质量低。用交流时 (图 4)，在每一半周依次积复阴极和阳极金属粒，在 99 试件上 (图 2) 可以看出它们如何交替。阴极颗粒是光亮和平滑的，没有氧化物。阳极颗粒是黑色的，它被氧化物和飞溅物弄髒。

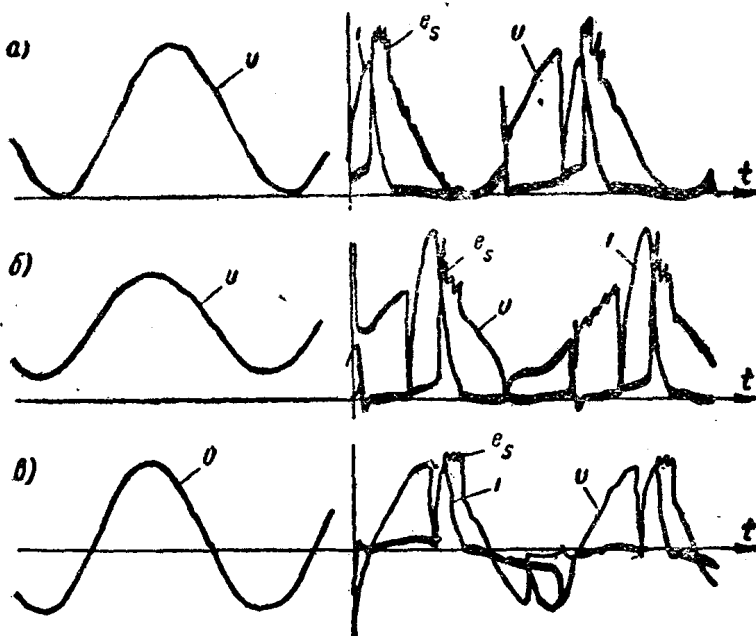


图3 用混流堆焊时电压和电流变化的示波图  
U-供给电压； I-短路脉冲电流；  $e_s$ -断路时的放电电压

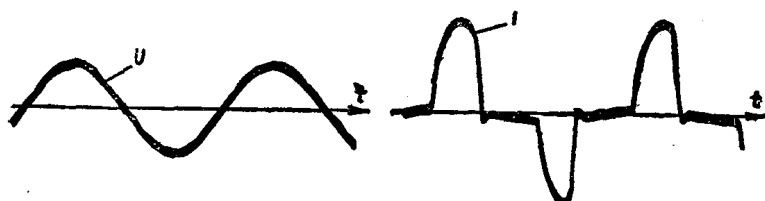


图4 用交流堆焊的脉冲示波图

阳极颗粒与基部金属焊接很差，焊接很差的原因是，在零件（阳极）上析出的热量不够，而在电极上析出很大的热量。混流与交流很坏的可焊性已为截面12.5平方毫米的专用试件破坏试验结果证明。破坏试验是按图5所示简图进行。

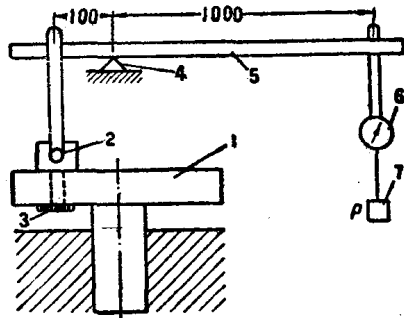


图5 堆焊金属与基部金属连接强度的破坏试验简图  
1-板；2-梢钉；3-堆焊金属；4-支点；5-杠杆；6-测力计；7-载荷

試驗結果列在表2中。从表中可見，金屬的焊接連接強度在很大程度內取决于电流的极性；而用直流反极性堆焊能得到最强的連接。

表2

电流种类和極性	平均載荷 公斤/毫米 <sup>2</sup>	$\sigma_B$ 公斤/毫米 <sup>2</sup>
直流，反極	575	46.0
混流，反極	469	37.6
交流	313	25.1
直流，正極	85	7.6

电流极性也影响各个元素的烧损过程，因为极性不同时，在电极上析出的热量不同，在直流反极性时碳烧掉5~6%，在混流时为7.5~8%，在交流时为10%，而在直流正极性时为33%。由此得出結論，混流和交流較之直流反极性沒有任何优越性。

电感和电容：焊接发电机具有很大的电感，沒有改装的焊接发电机是不适用于接触电弧堆焊。經驗指出，汽車零件堆焊

时，作为电脉冲堆焊装置的电源可以利用 НД-500/250、НД-1500/750 型的低压发电机或 ВСГ-3М 型 6 伏  $\times$  200 安的硒整流器，将整流器串联为 12 伏  $\times$  200 安来应用。但是为了有效地利用这些电源，这种电路是必须的，它保证在电极上必需的放电。电极间放电的特性决定了过程的稳定性、堆焊质量和堆焊生产率。当用上述具有小电感的电源堆焊时，在短路的瞬间电极供给电压瞬时降至零（图 6a）。然后在短路期间 ( $K$ )，电压逐渐提高到 3 ~ 5 伏，在短路期间，电流从零迅速地增加到 1100 ~ 1300 安（电路中的电流平均值为 180 安）。接触处的金属被焊接。短路时间不超过 0.0025 ~ 0.0030 秒。在断路开始时，接触面积少，而此处的电阻增加，同时围绕焊接电路的磁通消逝，磁能转变为电能。在断裂的焊丝缩颈处电压和电流密度急剧地增加，缩颈金属喷散，在电极空间开始放电。

由于电路中电感小和没有电容，在 0.0005 ~ 0.0008 秒后，放电便熄灭，而转入空程 ( $x$ )，空程延续 62 ~ 70% 循环时间。以后重复上述过程。根据示波图计算，这个过程中在接触（短路）期间大约析出 50% 热量。在断路期间大约也析出同样的热量。在断路期间焊丝缩颈喷散或爆炸，因此大约抛弃了 40% 电极金属，其余的电极金属积复在零件上。这个过程可以称为爆炸电火花过程。显然，为了减少金属的抛弃，必须减少焊丝脱开期间的脉冲能量；为此可以采取两种措施：a) 在焊接电路中与电极并联电容；b) 在焊接电路中接入自感线圈。

当与电极并联的电容在 1200 微法拉以下时，在短路期间容电器经过触点放电，接触处的电极金属在析出的热量作用下熔化，并与零件焊接。在电极脱开时，一部分能量储入容电器，而另一部分能量以电火花的形态在电极空间析出。火花放电的延续时间不超过 0.003 秒，这个过程中大约 50% 的热量在短路期

間析出在触点上，在电极空间大約也析出50%的热量，因为在断路时电流下降比較平稳，所以电极材料的損耗小于14~17%。由于接触析出热量占优势，用容电器式線路堆焊时可以获得0.1~0.6毫米的堆焊层，这个方法可以用来修复磨損較小的零件。

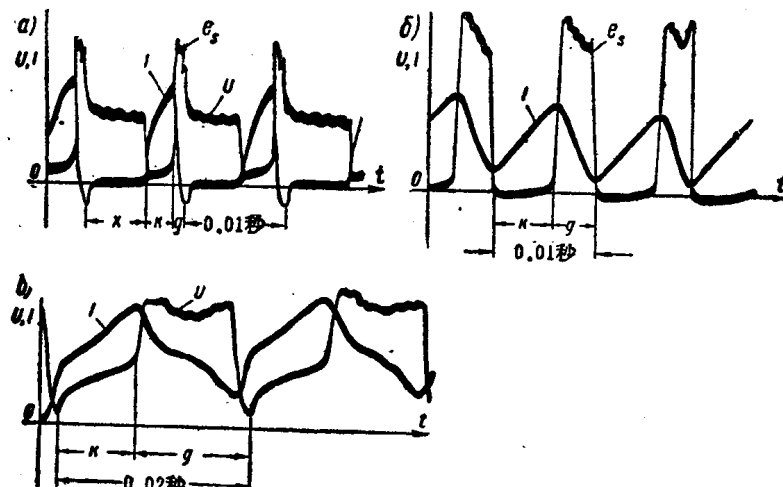


图 6 电压和电流变化的示波图  
 a—接触电火花法；b—接触电弧法；c—振动电弧法； $\kappa$ —短路时期； $\pi$ —电极空间的放电时期；x—放电结束后的空程时期；0.01~0.02秒—一个振动循环的延续时间

当用电感式線路堆焊时，电极間可以实现接触电火花或接触电弧放电。

用电感式線路堆焊的过程中，电极間发生下述現象：当电极接近时，电路电流等于零，而电极电压等于发电机空程电压。当焊接电路闭合时，电流从发电机經触点流通，这时发电机的一部分能量耗費在自感綫圈和电路其他元件中創造磁通，这一过程从电路短路的瞬间进行到断路开始。当电路断开时，

零件和焊絲間的接觸面積減小，在減小的焊絲縮頸處電流密度和金屬的溫度迅速地增加；隨後，焊絲縮頸非常迅速地轉化為蒸汽，以致過程具有閃光或爆炸的特性。

在電流截斷的瞬間，圍繞自感線圈和焊接電路導線間的磁通消失，消逝的磁場能量便轉化為電能。在示波圖上（圖6a）可以看出，這部分電能開始使電極空間的放電電壓提高，這個電壓（ $e_s$ ）大大地超過供給電壓（U），而在電極空間被火花放電擊穿之後，電能轉化為熱能。

短路電流值、電極空間放電的延續時間和特性取決於電感值或取決於電路中接入的自感線圈的圈數，當小的電感和電極直徑為1.6～1.8毫米時，在短路期間脈衝電流值達1100～1300安；當斷路時，放電的延續時間不大於0.0008～0.001秒，這時在火花區的電流密度達到 $3.6 \times 10^5$ 安/厘米<sup>2</sup>。按照B.H.佐洛特的資料，電火花加工時電容火花區的電流密度為 $10^5$ ～ $10^6$ 安/厘米<sup>2</sup>，放電的延續時間為 $10^{-4}$ ～ $10^{-7}$ 秒（參攷文獻2）。眾所周知：焊接電弧陰極的電流密度約為 $2.0 \times 10^3$ 安/厘米<sup>2</sup>，而陽極為 $3 \times 10^2$ 安/厘米<sup>2</sup>。考慮到在我們的例子中放電的電流密度和放電時間都接近於火花放電，可是放電是在接觸分離時發生，由此，這種放電可以假定地稱為接觸電火花（根據P.賀勒姆的定義，見參攷文獻3），而堆焊過程可以稱為電脈衝接觸電火花過程。

當增加電路中的電感時，脈衝電流值、放電形式和時間都改變。例如，當接入焊接變壓器PCTθ-34調節器線圈5～6圈時，短路電流值從1100～1300安減少到500～600安，而放電的延續時間從0.0008～0.001秒增至0.004～0.005秒，即增大4倍。在示波圖上（圖6中6）可以看出，這時空程消失，並開始連續的接觸電弧過程。由於短路脈衝電流值小，這個過程在短

路时析出不大于15~30%的热量。当电路断开时，焊丝缩颈金属不会爆炸，金属的损耗不超过6~8%。反之，用低电感线路堆焊时金属损失35~40%，接触电弧堆焊过程进行得更稳定，在这个过程中可以堆焊0.3~2.5毫米厚（甚至更厚）的金属层。因此接触电弧堆焊法可以用来修复各种磨损值的零件。

必须指出，堆焊装置的电源用小电感的НД-500/250或НД-1500/750型低压发电机，或用整流器时，当电压为10到16伏在电路内接入适当的电感值时，放电形式和特性能满足进行电脉冲接触电弧堆焊所需的条件。当堆焊装置的电源用普通的焊接发电机时，由于这种发电机具有高电感和较大的空程电压，脉冲放电便转变为一般的振动焊接电弧，这时在电极空间析出95%以上的热量。由于电极空间不经常的闭合，焊丝金属以大熔滴的形态进行转移。同时只有在低速没有液体时才能稳定地进行堆焊。因此用它能堆焊低硬度的厚金属。图6中B是振动电弧过程的示波图，在这个过程中没有脉冲放电，往往要经过一个或两个振动循环才能获得短路期间，由此使各个金属元素被强烈地烧掉（达40~50%）。

为了降低空程电压，在电路中与电极并联分路电阻，在这种电路中电能耗费增大40~50%，但是堆焊过程能更稳定地进行。

**电极的侵蚀和金属的转移：**堆焊过程中在电极上发现以下的现象：当电感电流小和在堆焊区供给大量液体时，零件和电极互相破坏或互相侵蚀。当液体供给量减少时，电极金属开始积复在零件上，但是在电极还处在冷状态的过程开始时期发生侵蚀现象，在电极与零件的接触点以车辙和弹坑的形式在基部金属上形成小凹坑；然后，经8~12次短路电极被加热后，在每一次短路时期才开始金属颗粒的积复过程。这样，电极金属